



Üçgen basamaklı dolusavakların enerji sönümleme performansının incelenmesi

Investigation of energy dissipation performance of triangular stepped spillways

Eyyüp Ensar YALÇIN^{1*}, Erdinç İKİNCİOĞULLAR¹, Nihat KAYA²

¹İnşaat Mühendisliği Bölümü, Bingöl Üniversitesi, Bingöl, Türkiye.
eyalcin@bingol.edu.tr

²İnşaat Mühendisliği Bölümü, Fırat Üniversitesi, Elazığ, Türkiye.
nkaya@firat.edu.tr

Geliş Tarihi/Received: 17.04.2023
Kabul Tarihi/Accepted: 20.09.2023

Düzelme Tarihi/Revision: 13.09.2023

doi: 10.5505/pajes.2023.95902
Araştırma Makalesi/Research Article

Öz

Basamaklı dolusavaklar, tahliye kanalı boyunca bulunan basamaklarla akım enerjisinin büyük kısmını tahliye kanalında sönümlenmektektir. Basamakların enerji sönümlemedeki katkısı sebebiyle yüzüyillardır yaygın olarak kullanılan bu dolusavaklar, birçok akademik çalışmaya konu olmuştur. Bu çalışma kapsamında, üçgen basamaklı dolusavakların enerji sönümleme performansları Flow-3D yazılımı kullanılarak incelenmiştir. 3 farklı model ve 3 farklı debi kullanılarak toplam 9 adet analiz yürütülmüştür. Yürüttülen analizler neticesinde, üçgen basamaklı dolusavaklarda basamak derinliğinin (h_i) artışıyla birlikte enerji sönümleme oranın arttığı, üçgen basamaklı dolusavakların klasik basamaklı dolusavaklara göre yaklaşık %78'e varan oranlarda daha fazla enerji sönümlenebileceği ve bu oranın geçiş akım rejimine doğru gidildikçe azaldığı sonuçlarına varılmıştır.

Anahtar kelimeler: Üçgen basamaklı dolusavak, Enerji sönümleme, Flow3D, Hesaplama Akışkanlar Dinamiği (HAD).

1 Giriş

Dolusavaklar, baraj rezervuarlarında biriken fazla suların veya feyzan debisinin, baraj gövdesine zarar vermeden membadan mansaba aktarılmasını sağlayan yapılardır. Bu yapılar, baraj membasındaki suyu mansaba aktarırken üzerinde konumlandırılan basamaklar sayesinde akım enerjisini % 70-80 oranında sönümlenmektektir [1]. İlk örneklerinin yaklaşık 3500 yıl öncesine dayandığı basamaklı dolusavaklar, son 45 yılda gelişen yeni inşa teknikleri ve yapı malzemelerinin üretimiyle birlikte oldukça popüler hale gelmiştir [2].

Basamaklı dolusavaklar, tahliye kanalı boyunca yerleştirilen basamaklar sayesinde enerji sönümleme oranını önemli ölçüde arttırdığından, mansap havuzundaki enerji kirici yapıların boyutu ve maliyeti azalmaktadır. Ayrıca dolusavak boyunca kavitasyon oluşum riski de önemli ölçüde azalmaktadır [3].

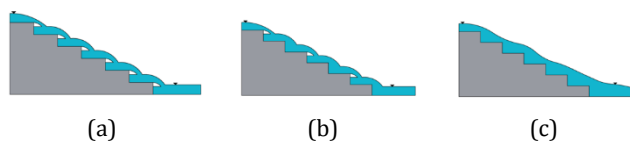
Basamaklı dolusavaklar yüksek enerji sönümleme performansına sahip olması ve inşasının ekonomik ve pratik olması sebebiyle geçmişten günümüze kadar birçok araştırmacı tarafından incelenmiştir. Basamaklı dolusavaklar ile ilgili yürütülen ilk çalışmalarla; akım rejimlerinin belirlenmesi, temel eşitliklerin oluşturulması, tasarım kriterlerinin belirlenmesi gibi konular araştırılmıştır [4]-[10].

Abstract

Stepped spillway can dissipate most of the flow energy in the discharge channel with the steps along the discharge channel. These spillways, which have been widely used for centuries due to the contribution of the steps in energy dissipation, have been the subject of many academic studies. In this study, the energy dissipation performance of triangular stepped spillways are investigated using Flow-3D software. A total of nine analyzes were carried out using three different models and three different discharges. As a result of the analyzes carried out, it was concluded that the energy dissipation ratio increases with the increase of the step depth (h_i), the triangular stepped spillways can dissipate up to 78% more energy than the conventional stepped spillways, and this rate decreases as the transition flow regime is passed.

Keywords: Triangular stepped spillway, Energy dissipation, Flow3D, Computational fluid dynamics (CFD).

Deneysel çalışmalarla [4], [7], [11] göre basamaklı dolusavaklar üzerindeki akım; debi değerine, dolusavak eğimine ve basamak geometrisine bağlı olup nap rejimi, sıçramalı rejim ve geçiş rejimi olmak üzere üçe ayrılır [12]. Nap rejimi, her bir basamakta oluşan nap şeklindeki akımın art arda düştüğü serbest naplar dizisidir ve düşük debi değerlerinde görülmektedir (Şekil 1a). Debi arttıkça basamaklı dolusavak üzerindeki akım kararlı hale geçerek sıçramalı rejimi oluşturur (Şekil 1c) [6]. Hidrolik mühendisliğinde, basamaklı dolusavak tasarımları genellikle en kararlı yapıya sahip olan sıçramalı akım rejimine göre tasarlanır [12]. Bu iki akım tipinin arasında ise geçiş rejimi meydana gelir (Şekil 1b). Ancak, düzensiz akım koşullarının görülmemesi sebebiyle tasarımlarda geçiş rejiminin kullanılması tavsiye edilmemektedir [6].



Şekil 1. Basamaklı dolusavaklarda oluşan akım rejimleri: a) nap akım rejimi; b) geçiş akım rejimi; c) sıçramalı akım rejimi [13].

Figure 1. Stepped spillway flow regimes: a) nappe flow regime; b) transition flow regime; c) skimming flow regime [13].

*Yazışılan yazar/Corresponding author

Chanson [2], nap akım rejiminin üst sınırını (nap ile geçiş akım rejimi arasındaki sınırı) Eşitlik (1) ile tanımlarken yine aynı çalışmasında sıçramalı akım rejiminin alt sınırını (geçiş ile sıçramalı akım rejimi arasındaki sınırı) ise Eşitlik (2) ile belirlemiştir. Boes ve Hager [9] sıçramalı akım rejiminin alt sınırını (geçiş ile sıçramalı akım rejimi arasındaki sınırı) Eşitlik (3) ile belirlemiştirlerdir.

$$\frac{y_c}{h_s} = 0.89 - 0.4 \left(\frac{h_s}{l_s} \right) \quad (1)$$

$$\frac{y_c}{h_s} = 1.2 - 0.325 \left(\frac{h_s}{l_s} \right) \quad (2)$$

$$\frac{y_c}{h_s} = 0.91 - 0.14 \tan(\alpha) \quad (3)$$

burada, h_s = basamak yüksekliği (m), l_s =basamak uzunluğu (m), y_c =kritik akım derinliği ve α = şut açısını ifade etmektedir.

Son yıllarda bilgisayar teknolojilerinde meydana gelen hızlı gelişmelerle birlikte birçok HAD (Hesaplamalı Akişkanlar Dinamiği) yazılımı geliştirilmiştir. Bu yazılımlar birçok bilim dalında olduğu gibi hidrolik mühendisliğinde de yaygın bir şekilde kullanılmaktadır. HAD yazılımları kullanılarak basamaklı dolusavaklarda yürütülen çalışmalarda farklı basamak sayıları ve geometrileri, basamak uçlarında farklı geometride eşikler ve farklı şut açıları gibi çeşitli parametreler kullanılarak enerji sönümleme oranları sayısal olarak incelenmiştir [13]-[26].

Bu çalışmada, literatürdeki bir klasik basamaklı dolusavak modelinin [27] deney sonuçları kullanılarak sayısal doğrulama işlemi yapılmış ve üçgen geometriye sahip basamaklı dolusavakların enerji sönümleme oranı HAD yazılımlarından biri olan Flow-3D ile sayısal olarak incelenmiştir.

2 Materyal ve yöntem

2.1 Sayısal Model

Flow-3D, akışkanların dinamik hareketlerini sayısal olarak inceleyen ve birçok bilim dalı (hidrolik mühendisliği, havacılık ve uzay, çevre, deniz bilimleri, vd.) için Flow Science Inc. tarafından geliştirilmiş bir yazılımdır. Flow-3D yazılımı, süreklilik ve Reynolds Ortalamalı Navier Stokes (RANS) denklemlerinin çözümünde sonlu hacimler yönteminin kullanmaktadır. Flow-3D yazılımında sonlu hacimler yönteminin geliştirilmiş bir versiyonu olan ve serbest yüzey akışlarının oldukça hassas bir şekilde modellenebilmesini sağlayan TruVOF kullanılmaktadır [28], [29]. Bu yazılımda hesaplamlar, dikdörtgen geometriye sahip üniform hücrelerden oluşan çözüm ağları aracılığıyla yürütülmektedir. Bu yapıda olan bir ağ başlangıçta bir kısıtlama veya sorun gibi gözükse de daha az miktarda hafızaya gereksinim duyması, kolay üretimi ve FAVOR (Fractional Area-Volume Obstacle Representation) ile VOF (Volume of fluid) gibi iki kullanışlı yöntemin kullanılması gibi nedenlerle bu çözüm ağının tipinin kullanımı avantaj sağlamaktadır [30]. Çözüm ağlarında bulunan ve kontrol hacmi olarak da adlandırılan hücrelerin her birinin merkezinde akişkana ait basınç, yoğunluk ve viskozite gibi skaler büyüklükler yer alırken, hücre yüzeylerinde ise sadece hızlar (u, v, w) hesaba katılmaktadır [29].

Üç boyutlu, sıkışmaz akışkanlar için kullanılan süreklilik denklemi, Eşitlik (4) ile ifade edilebilir,

$$\frac{\partial u}{\partial x} + \frac{\partial v}{\partial y} + \frac{\partial w}{\partial z} = 0 \quad (4)$$

burada u ; x yönündeki akım hızını, v ; y yönündeki akım hızını ve w ; z yönündeki hızını ifade etmektedir.

Üç boyutlu bir akış için Reynolds Ortalamalı Navier-Stokes (RANS) denklemleri Eşitlik (5) ile ifade edilebilir.

$$\begin{aligned} \rho \left(\frac{\partial \bar{u}}{\partial t} + \bar{u} \frac{\partial \bar{u}}{\partial x} + \bar{v} \frac{\partial \bar{u}}{\partial y} + \bar{w} \frac{\partial \bar{u}}{\partial z} \right) &= \rho X - \frac{\partial p}{\partial x} + \mu \nabla^2 \bar{u} + \\ \frac{\partial}{\partial x} (-\rho \bar{u} \bar{u}') &+ \frac{\partial}{\partial y} (-\rho \bar{u} \bar{v}') + \frac{\partial}{\partial z} (-\rho \bar{u} \bar{w}') \\ \rho \left(\frac{\partial \bar{v}}{\partial t} + \bar{u} \frac{\partial \bar{v}}{\partial x} + \bar{v} \frac{\partial \bar{v}}{\partial y} + \bar{w} \frac{\partial \bar{v}}{\partial z} \right) &= \rho Y - \frac{\partial p}{\partial y} + \mu \nabla^2 \bar{v} + \\ \frac{\partial}{\partial x} (-\rho \bar{v} \bar{u}') &+ \frac{\partial}{\partial y} (-\rho \bar{v} \bar{v}') + \frac{\partial}{\partial z} (-\rho \bar{v} \bar{w}') \\ \rho \left(\frac{\partial \bar{w}}{\partial t} + \bar{u} \frac{\partial \bar{w}}{\partial x} + \bar{v} \frac{\partial \bar{w}}{\partial y} + \bar{w} \frac{\partial \bar{w}}{\partial z} \right) &= \rho Z - \frac{\partial p}{\partial z} + \mu \nabla^2 \bar{w} + \\ \frac{\partial}{\partial x} (-\rho \bar{w} \bar{u}') &+ \frac{\partial}{\partial y} (-\rho \bar{w} \bar{v}') + \frac{\partial}{\partial z} (-\rho \bar{w} \bar{w}') \end{aligned} \quad (5)$$

burada, ρ akışkanın özgül kütlesini, $\bar{u}, \bar{v}, \bar{w}$: x, y, ve z yönündeki zaman ortalamalı hızları, u', v', w' türbülans çalkantı hızlarını, X, Y ve Z ilgili eksende kütlesel ivmeyi, μ dinamik viskoziteyi ve p basıncı ifade etmektedir.

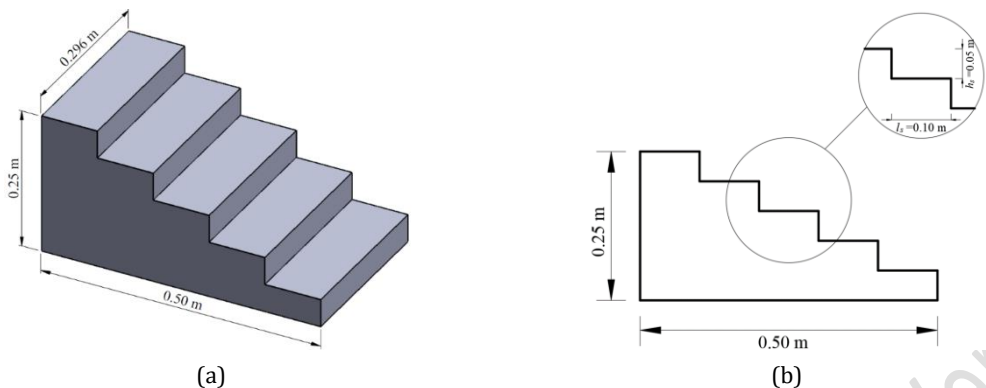
Türbülanslı akımların sayısal olarak modellenmesinde türbülansın dikkate alınmaması mümkün değildir. Ideal olarak, momentum ve kütle korunum denklemleri ile türbülanslı dalgalanmaların tamamı simüle edilebilse de bu durum, sayısal modelleme gerçekleştirilirken kullanılan ağı çözünürlüğünün bu tür detayları yakalamak için yeterli olması durumunda mümkündür. Ancak, işlem süresi ve bilgisayar belleği gibi sınırlamalar nedeniyle yüksek çözünürlükte modellemeler yapmak genellikle mümkün olmamaktadır. Bu nedenle, türbülansın ortalama akım özellikleri üzerindeki etkilerini tanımlayan basitleştirilmiş bazı modellemeler kullanılmıştır [31].

Bu çalışma kapsamında literatürde yaygın olarak kullanılan $\overline{\cdot}$ - $\overline{\cdot}$ türbülans modeli kullanılmıştır.

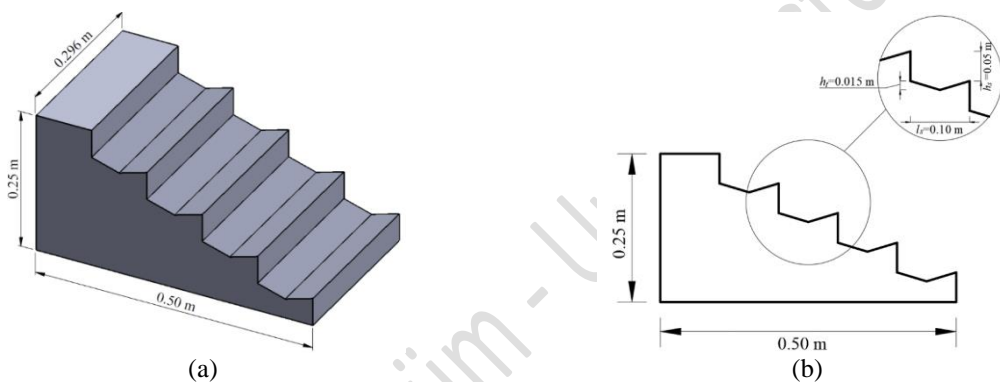
2.2 Geometrik Model

Sayısal çalışmanın doğrulanmasında kullanılan fiziksel modelin [27] uzunluğu 0.50 m, yüksekliği 0.25 m, genişliği 0.296 m ve kanal açısı 26.6° olup modelde bulunan basamakların yüksekliği 0.05 m ve uzunluğu 0.10 m'dir (Şekil 2).

Sayısal analizler için üç farklı geometri (üçgen basamak derinliği (h_t)= 0.005, 0.010 ve 0.015 m) ve üç debi (0.00684, 0.00831 ve 0.0121 m³/s) kullanılarak toplamda 9 adet analiz gerçekleştirilmiştir. Solidworks yazılımı kullanılarak oluşturulan üç boyutlu modeller, .stl (Standard Triangle Language) uzantısında kaydedilerek Flow-3D yazılımına aktarılmıştır (Şekil 3). Çalışma kapsamında yürütülen analizlerin hidrolik karakteristikleri Tablo 1'de özetlenmiştir. Buradaki akım rejimleri, Boes ve Hager [9] tarafından verilen eşitlkere göre belirlenmiştir.



Şekil 2. Mero ve Mitchell [27] tarafından tasarlanan fiziksnel modelin geometrisi: a) 3 boyutlu görünüm, b) 2 boyutlu görünüm.
Figure 2. Geometry of the physical model designed by Mero and Mitchell [27]: a) three-dimensional view, b) two-dimensional view.



Şekil 3. Üçgen basamaklı dolusavakların tasarımları (Model-3): a) 3 boyutlu görünüm, b) 2 boyutlu görünüm.
Figure 3. The design of triangular stepped spillways (Model-3): a) three-dimensional view, b) two-dimensional view.

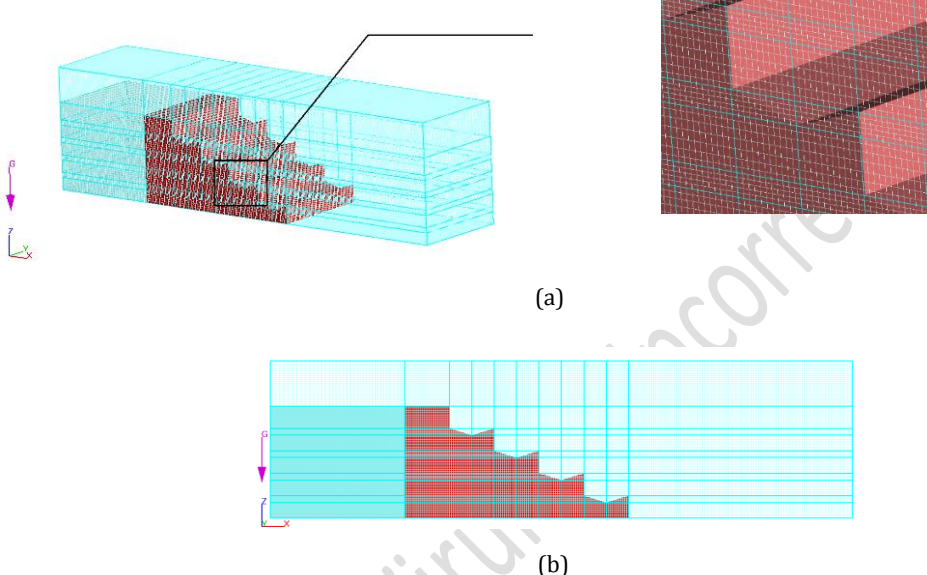
Tablo 1. Analizlere ait hidrolik karakteristikler
Table 1. Hydraulic characteristics of the analyses

Analiz Numarası	Model Numarası	Q (m^3/s)	Basamak Yüksekliği (h_s) (m)	Basamak Genişliği (l_s) (m)	Üçgen basamak derinliği h_t (m)	Akım Rejimi [9]
1	Model 1	0.01210	0.05	0.10	0.005	Sıçramalı
2	Model 1	0.00830	0.05	0.10	0.005	Sıçramalı
3	Model 1	0.00684	0.05	0.10	0.005	Geçiş
4	Model 2	0.01210	0.05	0.10	0.010	Sıçramalı
5	Model 2	0.00830	0.05	0.10	0.010	Sıçramalı
6	Model 2	0.00684	0.05	0.10	0.010	Geçiş
7	Model 3	0.01210	0.05	0.10	0.015	Sıçramalı
8	Model 3	0.00830	0.05	0.10	0.015	Sıçramalı
9	Model 3	0.00684	0.05	0.10	0.015	Geçiş

2.3 Çözüm Ağı, Sınır Şartları ve Analiz süresi

Model için en uygun çözüm ağını tespit etmek amacıyla üç farklı çözüm ağı denenmiştir. Oluşturulan çözüm ağlarında geometrinin daha iyi bir şekilde algılanabilmesi için z doğrultusunda dokuz adet ve x doğrultusunda on adet ekstra çözüm katmanı kullanılmıştır (Şekil 4). Yürüttülen analizlerde ilk etapta 761,985 adet çözüm hücresi kullanılmıştır. Son aşamada ise hücre boyutları küçültüleerek toplam hücre sayısı

1,958,040'a kadar arttırlılmıştır. Tablo 2 ve Şekil 5'te görüldüğü üzere, belli bir değerden sonra toplam hücre sayısını artırmanın mansaptaki enerji yüksekliğini çok fazla etkilememesi sebebiyle en küçük hücre boyutu 0,45 cm ve en büyük hücre boyutu 1,03 cm olan 1,316,250 adet çözüm hücresinden oluşan Çözüm Ağı-2'nin çalışma için kullanılmasının uygun olduğu kanaatine varılmıştır.



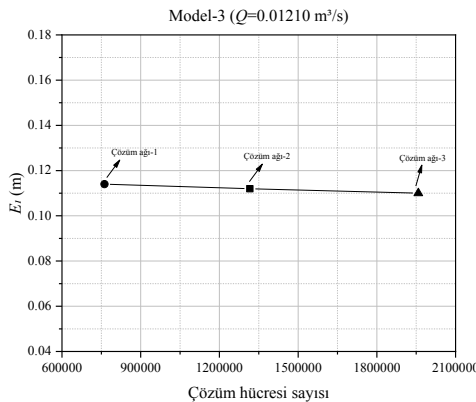
Şekil 4. Çözüm ağı (Mesh) yapısı: a) Perspektif ve yakınlaştırılmış görünüm, b) iki boyutlu görünüm.

Figure 4. Mesh structure: a) Perspective and zoomed view, b) two-dimensional view.

Tablo 2. Çözüm hücresi sayısının dolusavak mansabındaki enerjiye etkisi (Model 3, $Q=0.01210 \text{ m}^3/\text{s}$)

Table 2. The effect of the total number of cells on the energy downstream of the spillway (Model 3, $Q=0.01210 \text{ m}^3/\text{s}$).

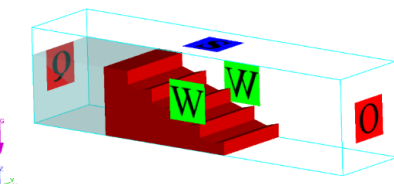
Çözüm Ağı	Çözüm ağı hücre boyutları (Minimum-Maksimum) (cm)	Çözüm hücresi sayısı	Dolusavak mansabındaki enerji yüksekliği (E_1) (m)
1	0.50-1.47	761,985	0.114
2	0.45-1.03	1,316,250	0.112
3	0.38-0.92	1,958,040	0.110



Şekil 5. Çözüm hücresi sayısının dolusavak mansabındaki enerjiye etkisi (Model 3, $Q=0.01210 \text{ m}^3/\text{s}$).

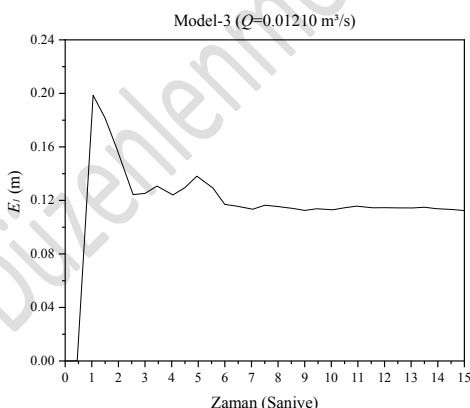
Figure 5. The effect of the total number of cells on the energy downstream of the spillway (Model 3, $Q=0.01210 \text{ m}^3/\text{s}$).

Analizlerde kullanılan sınır şartları, Mero ve Mitchell [27] tarafından gerçekleştirilen deney setine uygun olacak şekilde seçilmiştir. Çözüm bloğunda x_{bas} yüzeyine, dolusavaktan birim zamanda sabit bir akımın geçebilmesini sağlamak amacıyla debi (Q) sınır şartı ve dolusavak yüksekliği kadar su tanımlanmıştır. Memba kısmındaki akım yüksekliği tanımlanan debiye göre yazılım vasıtasyyla belirlenmektedir. Savaklanan akım sistemi terk etmesini sağlamak amacıyla x_{son} yüzeyine çıkış (0), kanal tabanı (Z_{bas}) ile, kanalın sol ve sağ yüzeylerine (y_{bas} ve y_{son}) duvar (W) sınır şartı, çözüm bloğunun üst kısmına ise symmetry (S) tanımlanmıştır (Şekil 6). Kararlı akım şartlarını yakalayabilmek için analizlerin 15 saniye boyunca yürütülmüşsinin yeterli olduğu gözlenmiştir (Şekil 7).



Şekil 6. Sınır şartları.

Figure 6. Boundary conditions.



Şekil 7. Dolusavak mansabındaki enerjinin zamana bağlı değişimi (Model 3, $Q=0.01210 \text{ m}^3/\text{s}$).

Figure 7. Variation of energy downstream of the spillway with time (Model 3, $Q=0.01210 \text{ m}^3/\text{s}$).

2.4 Enerji Sönümleme Oranı

Deneysel çalışmada [27] membadaki toplam enerji yüksekliği kritik akım derinliği ile hesaplanmıştır. Kanal dikdörtgen olduğu için ile kritik akım derinliği ($y_c = \sqrt[3]{\frac{q^2}{g}}$) kullanılarak hesaplanmıştır.

Eşitlik (6) ve (7) kullanılarak Şekil 8'de yerleri belirtilen (0) ve (1) noktalarındaki enerjiler hesaplanmıştır. Ardından Eşitlik (8) kullanılarak (0) ve (1) noktaları arasındaki enerji farkı (E_L) ve son olarak Eşitlik (9) kullanılarak enerji sökümlme oranı hesaplanmıştır [27].

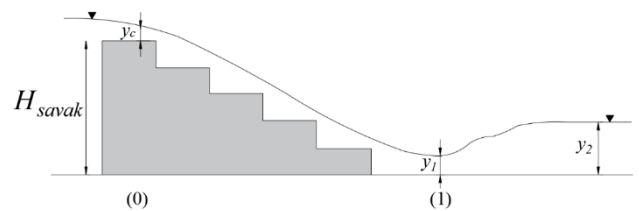
$$E_0 = H_{savak} + y_c + \frac{V_c^2}{2g} = H_{savak} + 1.5y_c \quad (6)$$

$$E_1 = y_1 + \frac{V_1^2}{2g} \quad (7)$$

$$E_L = E_0 - E_1 \quad (8)$$

$$\text{Enerji sökümlme oranı} = \frac{E_0 - E_1}{E_0} = \frac{E_L}{E_0} \quad (9)$$

burada, E_0 , savak üzerindeki enerjiyi (m); E_1 , dolusavak mansabındaki enerjiyi (m); H_{savak} , Savak yüksekliğini (m); V_c , kritik akım hızını (m/s); V_1 , mansaptaki ortalama akım hızını (m/s) g , yerçekimi ivmesini (m/s^2); ifade etmektedir.



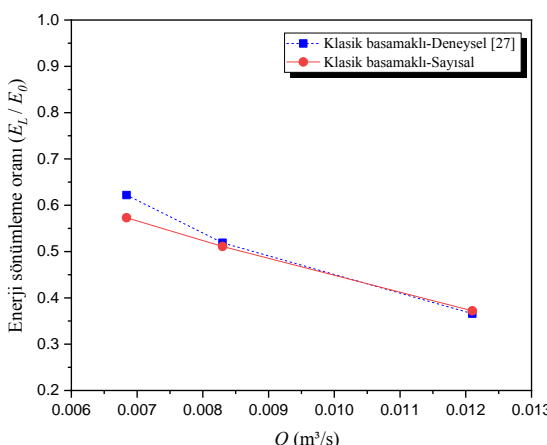
Şekil 8. Basamaklı dolusavak boykesiti.

Figure 8. Stepped spillway longitudinal section.

3 Bulgular ve tartışma

3.1 Sayısal modelin doğrulanması

Yukarıda bahsedildiği üzere, toplam 1,316,250 adet çözüm hücresinin ve $k-\varepsilon$ türbülans modelinin kullanıldığı sayısal çalışmanın sonuçlarının deneysel sonuçlar [27] ile yeterince uyumlu olduğu görülmektedir (Şekil 9).

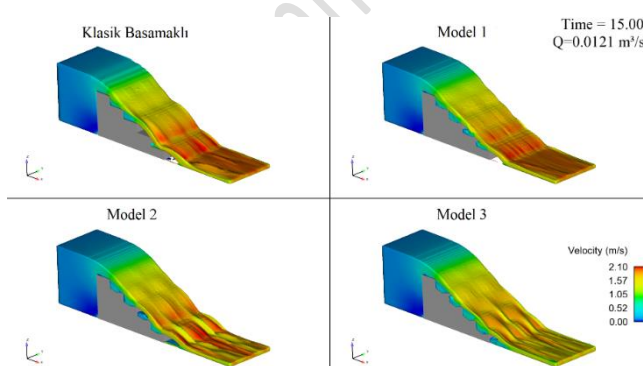


Şekil 9. Sayısal modelin doğrulanması.

Figure 9. Validation of numerical model.

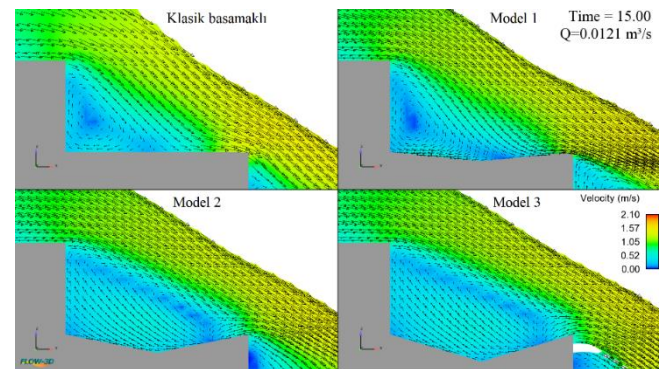
3.2 Akım karakteristikleri

Klasik basamaklı dolusavak modeli ve üçgen basamaklı dolusavak modellerinde $0.0121 \text{ m}^3/\text{s}$ 'lik debi değerinde oluşan hız dağılımları Şekil 10'da verilmiştir. Üçgen basamaklı dolusavak modellerinde, klasik basamaklı dolusavağa göre mansapta daha düşük hız değerleri gözlenmiştir. Ayrıca üçgen basamaklı modellerde basamak derinliği (h_t) artışıyla birlikte dolusavak mansabındaki akım hızının azaldığı görülmektedir (Şekil 10). Bu durumun, basamak derinliği artısına bağlı olarak akım içerisine dahil olan hava miktarının artmasından kaynaklı olduğu düşünülmektedir. Şekil 11'de klasik basamaklı dolusavak modeli ve üçgen basamaklı dolusavak modellerinde $0.0121 \text{ m}^3/\text{s}$ debi değerinde ikinci basamak üzerinde oluşan hız vektörlerinin dağılımı verilmiştir. Klasik basamaklı model ve üçgen basamaklı modellerin tamamında, en yüksek hız değerleri basamak uçlarında görülürken, basamak tabanına doğru hız değerleri azalmaktadır. Tüm modellerde hız vektörlerinin dağılımı incelemesinde, izafi taban altında çevrinti bölgelerinin oluştuğu görülmektedir. Ayrıca üçgen basamaklı dolusavak modellerinin tamamında klasik basamaklı dolusavak modeline kıyasla daha büyük bir bölgede çevrintilerin oluştuğu görülmektedir (Şekil 11).



Şekil 10. $Q=0.0121 \text{ m}^3/\text{s}$ 'lik debide modellerde oluşan hız dağılımları.

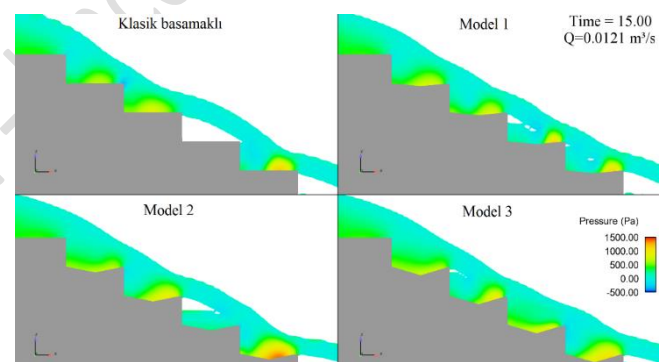
Figure 10. Velocity distributions of the models for $Q=0.0121 \text{ m}^3/\text{s}$.



Şekil 11. $Q=0.0121 \text{ m}^3/\text{s}$ 'lik debide modellerde oluşan hız vektörleri

Figure 11. Velocity vectors of the models for $Q=0.0121 \text{ m}^3/\text{s}$.

Modellerin kanal ekseni boyunca oluşan basınç dağılımları Şekil 12'de verilmiştir. Test edilen modellerde genel olarak basamak başlangıç bölgelerinde düşük basınç değerleri görülürken, basamak uçlarına doğru ise basınç değerlerinin arttığı görülmektedir. Yapılan analizlerde üçgen basamaklı modellerin hibirden negatif basınç oluşumu görülmemiştirinden bu modellerde kavitasyon oluşumu da beklenmemektedir.

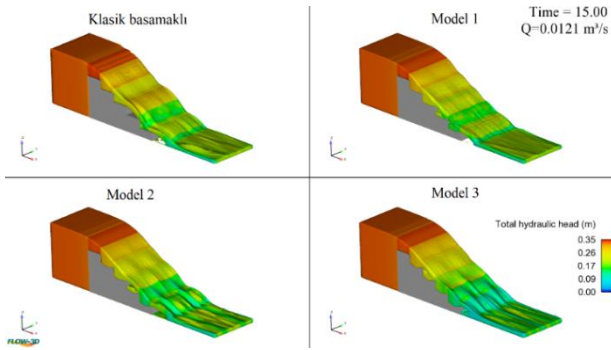


Şekil 12. $Q=0.0121 \text{ m}^3/\text{s}$ 'lik debide modellerde oluşan basınç dağılımları

Figure 12. Pressure distributions of the models for $Q=0.0121 \text{ m}^3/\text{s}$.

3.3 Enerji Sönümleme Oranları

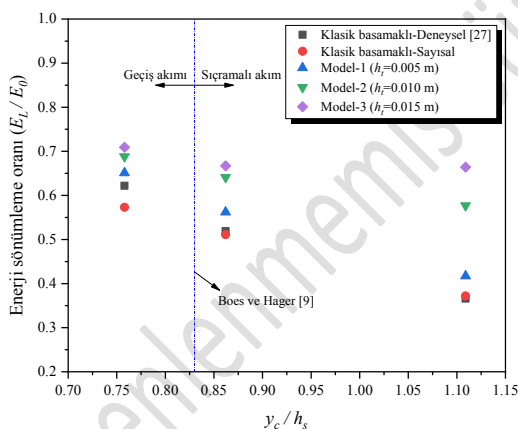
Test edilen modellerin mansabında oluşan enerji değerleri Şekil 13'te karşılaştırılmıştır. Elde edilen sonuçlara göre, üçgen basamaklı dolusavakların mansabındaki enerjinin klasik basamaklı dolusavağın mansabındaki enerjiye kıyasla daha düşük olduğu gözlenmiştir. Bunun nedeni üçgen basamaklı dolusavak modellerinde klasik basamaklı dolusavak modeline kıyasla daha büyük bir bölgede çevrintilerin oluşmasıdır. Ayrıca üçgen basamaklı modellerde h_t arttıkça, mansaptaki enerjinin azaldığı görülmektedir (Şekil 13).



Şekil 13. $Q=0.0121 \text{ m}^3/\text{s}$ 'lik debide modellerde oluşan enerji dağılımları

Figure 13. Total hydraulic head of the models for $Q=0.0121 \text{ m}^3/\text{s}$.

Şekil 14'te, çalışma kapsamında kullanılan modellerin enerji sömümleme oranları ile boyutsuz kritik akım derinliği (y_c/h_s) arasındaki ilişki verilmiştir. Sonuçlara göre, boyutsuz kritik akım derinliğinin yani debi değerinin artışıyla, genellikle enerji sömümleme oranlarında azalma olduğu ve bu durum literatürle de uyumlu olduğu görülmektedir [16], [19], [24], [27], [27], [32]. Ayrıca, üçgen basamaklı dolusavakların klasik basamaklı dolusavağa kıyasla daha yüksek oranda enerji sömümleyebildiği ve bu oranın basamak derinliğinin (h_t) artmasıyla arttığı gözlenmiştir. En yüksek basamak derinliğine sahip olan Model-3'ün klasik basamaklı dolusavak modeline göre sıçramalı akım rejiminde yaklaşık % 78, geçiş akımı rejiminde ise % 24'e varan oranlarda daha fazla enerji sömümleyebildiği görülmektedir. Kullanılan modellerin enerji sömümleme oranı farkının sıçramalı akım rejiminde daha fazla olduğu ve geçiş akımı rejimine doğru bu farkın azaldığı görülmektedir.



Şekil 14. Modellerin enerji sömümleme oranlarının kıyaslanması

Figure 14. Comparison of energy dissipation rates of the models

4 Sonuçlar

Çalışma kapsamında üçgen basamaklı dolusavakların enerji sömümleme performansı Flow-3D yazılımı kullanılarak sayısal olarak incelenmiştir. 3 farklı model ve 3 debi değeri kullanılarak toplam 9 adet analiz yürütülmüştür. Sayısal çalışmanın doğrulanmasında Mero ve Mitchell [27] tarafından gerçekleştirilen klasik basamaklı dolusavak deney sonuçları kullanılmıştır. Yapılan analizler neticesinde aşağıdaki sonuçlara ulaşılmıştır.

- Çalışmada kullanılan modellerin tamamında, debi değeri arttıkça enerji sömümleme oranının azaldığı görülmüştür.
- Çalışmada kullanılan debi değerlerinin tamamında, üçgen basamaklı dolusavak modellerinin klasik basamaklı dolusavaklara göre daha yüksek oranlarda enerji sömümleyebildiği ve üçgen basamaklı modellerde basamak derinliğinin (h_t) artmasıyla enerji sömümleme oranın arttığı gözlenmiştir.
- Basamak derinliğinin en yüksek olduğu Model-3'ün, klasik basamaklı dolusavak modeline kıyasla, sıçramalı akım rejiminde % 78 ve geçiş akım rejiminde % 24 civarında daha fazla enerji sömümleyebildiği görülmüştür.
- Üçgen basamaklı dolusavak modelleri ile klasik basamaklı dolusavak modeli arasındaki enerji sömümleme oranı farkının sıçramalı akım rejiminde daha fazla olduğu ve geçiş akımı rejimine doğru bu farkın azaldığı görülmektedir.
- Üçgen basamaklı dolusavak modellerinde negatif basınç oluşmadığından kavitasyon riski gözlenmemiştir.

5 Conclusions

In this study, the energy dissipation performance of triangular stepped spillways was numerically investigated using Flow-3D software. A total of nine analyzes were carried out using three different models and three discharges. The results of the classical stepped spillways experiments conducted by Mero and Mitchell [27] were used to validate the numerical model. As a result of the analyzes made, the following conclusions were obtained.

- In all of the models used in the study, it was observed that the energy dissipation rate decreased as the discharge increased.
- In all of the discharge used in the study, it was observed that triangular stepped spillway models can dissipate energy at higher rates than classical stepped spillways and the energy dissipation rate increases with the increase of step depth (h_t) in triangular stepped models.
- Model-3, which has the most step depth, can dissipate 78% more energy in the skimming flow regime and up to 24% in the transition flow regime compared to the classical stepped spillway model.
- The difference in energy dissipation rate between the triangular stepped spillway models and the classical stepped spillway model is higher in the skimming flow regime and decreases towards the transitional flow regime.
- None of the triangular stepped spillways showed negative pressure formation and, therefore, no risk of cavitation phenomenon.

6 Yazar katkı beyanı

Gerçekleştirilen çalışmada ikinci yazar ve birinci yazar fikrin oluşturulmasında; birinci yazar ve ikinci yazar literatür taraması, verilerin toplanması, analizlerin yapılması, elde edilen sonuçların değerlendirilmesi ve makalenin yazımı kısımlarında katkı sunmuşlardır.

7 Etik kurul onayı ve çıkar çatışması beyanı

"Hazırlanan makalede etik kurul izni alınmasına gerek yoktur"
"Hazırlanan makalede herhangi bir kişi/kurum ile çıkar çatışması bulunmamaktadır"

8 Kaynaklar

- [1] Boes RM, Chanson H, Matos J, Ohtsu I, Yasuda Y, Takahashi M, vd. "Characteristics of Skimming Flow over Stepped Spillways". *Journal of Hydraulic Engineering*, 125(November), 860–873, 2000.
- [2] Chanson H. "Hydraulics of Stepped Spillways: Current Status". *Journal of Hydraulic Engineering*, 126(9), 636–637, 2000.
- [3] Murillo RE. Experimental Study of the development Flow Region on Stepped Chutes. PhD Thesis, University of Manitoba, Winnipeg, Manitoba, Canada, 2006.
- [4] Sorensen RM. "Stepped Spillway Hydraulic Model Investigation". *Journal of Hydraulic Engineering*, 111(12) ,461–472,1985.
- [5] Chanson H. "Stepped Spillway Flows and Air Entrainment". *Canadian Journal of Civil Engineering*, 20(3), 422–435, 1993.
- [6] Chanson H. "Prediction of the transition nappe/skimming flow on a stepped channel". *Journal of Hydraulic Research*, 34(3), 421–429, 1996.
- [7] Ohtsu I, Yasuda Y. "Transition from supercritical to subcritical flow at an abrupt drop". *Journal of Hydraulic Research*, 29(2), 309–328. 1991.
- [8] Chanson H. "Hydraulic Design of Stepped Spillways and Downstream Energy Dissipators". *Dam Enginering*, 11(15), 205–242 2001.
- [9] Boes RM, Hager WH. "Hydraulic Design of Stepped Spillways for RCC Dams".*Journal of Hydraulic Engineering*, 129(9), 671–679, 2003.
- [10] Felder S, Guenther P, Chanson H. "Air-Water Flow Properties and Energy Dissipation on Stepped Spillways: A Physical Study of Several Pooled Stepped Configurations". School of Civil Engineering, The University of Queensland, Brisbane, Australia, 2012.
- [11] Peyras L, Royet P, Degoutte G. "Flow and Energy Dissipation over Stepped Gabion Weirs". *Journal of Hydraulic Engineering*, 118(5), 707–717, 1992.
- [12] Ma P, Hu Y, Liu H. "Study on Energy Dissipation Characteristics of Skimming Flow on Stepped Spillways". *Taiwan Water Conservancy*, 69(2), 89–102, 2021.
- [13] Ikinciogullari E. "Energy dissipation performance of the trapezoidal stepped spillway". *Journal of Engineering Research*, 1–15, 2021.
- [14] Tabbara M, Chatila J, Awwad R. "Computational Simulation of Flow over Stepped Spillways". *Computers and Structures*, 83(27), 2215–2224, 2005.
- [15] Ghaderi A, Abbasi S, Di Francesco S. "Numerical study on the hydraulic properties of flow over different pooled stepped spillways". *Water (Switzerland)*, 13(5), 1–25 2021.
- [16] Saqib NU, Akbar M, Pan H, Ou G, Mohsin M, Ali A, vd. "Numerical Analysis of Pressure Profiles and Energy Dissipation across Stepped Spillways Having Curved Risers". *Applied Sciences (Switzerland)*, 12(1), 1–18 2022.
- [17] Roushangar K, Akhgar S, Shahnazi S. "The effect of triangular prismatic elements on the hydraulic performance of stepped spillways in the skimming flow regime: an experimental study and numerical modeling". *Journal of Hydroinformatics*, 24(2), 243–258, 2022.
- [18] Ikinciogullari E. "Stepped spillway design for energy dissipation". *Water Supply*, 23(2), 749–763, 2023,
- [19] Attarian A, Hosseini K, Abdi H, Hosseini M. "The Effect of the Step Height on Energy Dissipation in Stepped Spillways Using Numerical Simulation". *Arabian Journal for Science and Engineering*, 39, 2587–2594, 2014.
- [20] Mohammad Rezapour Tabari M, Tavakoli S. "Effects of Stepped Spillway Geometry on Flow Pattern and Energy Dissipation". *Arabian Journal for Science and Engineering*, 41, 1215–1224, 2016.
- [21] Hamed A, Hajigholizadeh M, Mansoori A. "Flow Simulation and Energy Loss Estimation in the Nappe Flow Regime of Stepped Spillways with Inclined Steps and End Sill: A Numerical Approach". *Civil Engineering Journal*, 2, 426–437, 2016.
- [22] Irzooki RH, Mohammed JR, Ameen AS. "Computational Fluid Dynamics Modeling of Flow over Stepped Spillway". *Tikrit Journal of Engineering Science*, 23, 1–11, 2016.
- [23] Jabbar IN. "Numerical Analysis of Flow over Stepped Spillways". M.Sc. Thesis, Gaziantep University, Gaziantep, Türkiye, 2018.
- [24] Salmasi F, Samadi A. "Experimental and numerical simulation of flow over stepped spillways". *Applied Water Science*, 8, 1–11, 2018.
- [25] Ashoor A, Riazi A. "Stepped spillways and energy dissipation: A non-uniform step length approach". *Applied Sciences (Switzerland)*, 9, 1–17, 2019.
- [26] İkinciogulları, E. "Ters Basamaklı Eşikler Kullanılarak Tasarlanan Basamaklı Savakların Enerji Sönümleme Oranlarının Sayısal Olarak İncelenmesi". *European Journal of Science and Technology*, 23, 189–196, 2021.
- [27] Mero S, Mitchell S. "Investigation of energy dissipation and flow regime over various forms of stepped spillways". *Water and Environment Journal*, 31(1), 127–137, 2017.
- [28] Usta E. Numerical Investigation of Hydraulic Characteristics of Laleli Dam Spillway and Comparison with Physical Model Study. M.Sc. Thesis, Middle East Technical University, Ankara, Turkey, 2014.
- [29] Kocaman S. Baraj Yıkılması Probleminin Deneysel ve Teorik Olarak İncelenmesi. Doktora Tezi, Çukurova Üniversitesi, Adana, Türkiye, 2007.
- [30] Ghasemlounia R. *Hidrolik ve Su Kaynakları Mühendisliğinde FLOW-3D*. Ankara, Türkiye, Nobel Yayınevi, 2021.
- [31] *Flow-3D User Manual*. Flow Science Inc., 2022.
- [32] Moghadam, M. K.; Amini, A.; Moghadam, E. K. "Numerical study of energy dissipation and block barriers in stepped spillways". *Journal of Hydroinformatics*, Vol. 23(2), 284–297, 2021.